

BOLETÍN DE INFORMACIÓN SÍSMICA

Septiembre 2013

GRUPO RESNOM

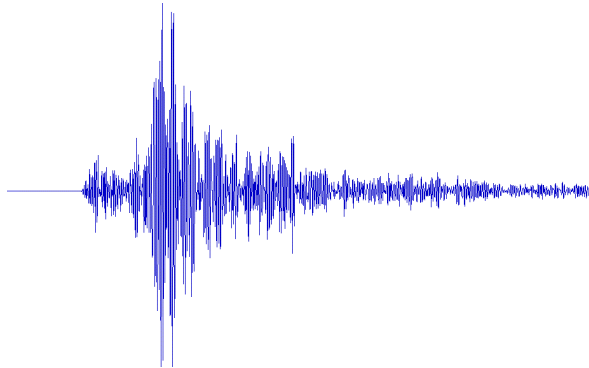
Departamento de Sismología

División de Ciencias de la Tierra

*Centro de Investigación Científica y
de Educación Superior de Ensenada,
BC.*

ÉPOCA II

Ensenada Baja - California, México



PERSONAL DE RESNOM

Investigador

Dr. Víctor M. Wong Ortega



Responsables del contenido y edición

Dr. Víctor M Wong Ortega

MTIC Julia del C Sánchez R.

Téc. Francisco Javier Farfán S.

Téc. Ignacio Méndez Figueroa

LCC. Sergio M. Arregui O.

Grupo Técnico

Arregui Ojeda Sergio Manuel
Díaz de Cossio Batani Guillermo
Gálvez Valdez Jesús Óscar
Farfán Sánchez Francisco Javier
López Lara Alejandro
Méndez Figueroa Ignacio
Núñez Leal María Alejandra
Orozco León Luis Raúl
Sánchez Rodríguez Julia del Carmen

1 INFORMACIÓN GENERAL

La Red Sísmica del Noroeste de México (RESNOM) es una red telemétrica operada desde 1980 por el Departamento de Sismología, División de Ciencias de la Tierra, CICESE (Figura 1). La cual registra información digital de temblores locales y regionales del norte de Baja California y el oeste de Sonora (noroeste).

1.1 OBJETIVO DEL BOLETÍN

El Boletín de Información Sísmica tiene como objetivo difundir los resultados del procesado de las señales sísmicas registradas por RESNOM. Estas señales corresponden a temblores ocurridos en la región noroeste de México y el norte del Golfo de California.

El boletín consiste en un listado de tiempos de origen, localizaciones hipocentrales, magnitud y algunos parámetros relativos a la localización de los sismos registrados (error cuadrático medio de los residuales de tiempo y número de lecturas utilizadas en la localización). Adicionalmente se anexa mapa que muestra la distribución epicentral de los sismos localizados.

A continuación se presenta una breve descripción acerca de:

- La instrumentación de las estaciones.
- Los sistemas de adquisición de datos.
- El procesamiento de la Información
- Cálculo de la magnitud.

1.2 INSTRUMENTACIÓN DE LAS ESTACIONES

RESNOM consiste en 1 estación de periodo intermedio y 15 estaciones de Banda ancha (0.01-50 Hz), ver Tabla 1.

Las estaciones de Banda Ancha equipadas con grabadoras REFTEK modelo 130-1 y 130S de 6 componentes de 24 bits y sensores: a) de Velocidad marca GURALP modelo 3ESPC y Trillium Compact, b) de Aceleración marca Kinematics-Episensor modelo FBA ES-T y estaciones DAS 72A y sensores triaxiales Geotech (KS-2000).

Las señales sísmicas se digitalizan a razón de 100 muestras por canal y se envían al CICESE utilizando el Internet comercial y en algunos casos satelital.

La estación de periodo intermedio (TLX) está equipada con digitalizador Reftek 130S y sensor de velocidad marca Guralp CMG-40T.



Figura 1 – Localizaciones de las Estaciones RESNOM septiembre 2013.

| | ID | DAS | N/S | m/s | Velocidad | S/N | Aceleración | S/N | Latitud | Longitud | Elev m | TIPO ENLACE | Comunicación | Identificación | Localización | Fecha Instalación | Fecha Retiro |
|--|----|-----|-----|-----|-----------|-----|-------------|-----|---------|----------|--------|-------------|--------------|----------------|--------------|-------------------|--------------|
|--|----|-----|-----|-----|-----------|-----|-------------|-----|---------|----------|--------|-------------|--------------|----------------|--------------|-------------------|--------------|

| Estaciones de Banda Ancha | | | | | | | | | | | | | | | | | |
|---------------------------|-----|--|------------|------------|---|--------------|----------------|------------|---------|-----------|------|--------------------|----------------------|------------------|---|---|--------------------------|
| 1. | CBX | 72 A-07 | 8129 | 100 | GURALP CMG-40T | T4672 | -- | -- | 32.3131 | -116.6636 | 1250 | Radio | Radio ⇨ CICESE | Cerro Bola | En Cerro Bola – BC | 06-06-2001 | |
| 2. | CCX | REFTEK 130-1 | B07E | 100 | GURALP | T36760 | FBA ES-T | 4509 | 31.8679 | -116.6645 | 36 | Red CICESE | Red Interna CICESE | CICESE | Sótano del edificio de Ciencias de la Tierra - CICESE | 26-06-2011 | |
| 3. | CHX | DM24-3M | | 50 | GURALP | T4034 | -- | -- | 31.4721 | -115.0521 | 40 | Radio-Internet | Radio ⇨ SPX ⇨ CICESE | | Cerro El Chinero BC | 01-10-2012 | |
| 4. | CPX | REFTEK 72 A DM24-3M REFTEK 130-1 | B08E | 100 | MARK L4C GURALP CMG40T GURALP 3ESPC | T36761 | FBA ES-T | 4503 | 32.4195 | -115.3050 | 194 | Internet-VPN de C4 | CPX ⇨ C4 ⇨ CICESE | Cerro Prieto | 30 km al Sur de Mexicali – en el volcán de Cerro Prieto – BC | 11-09-2001 29-10-2009 08-05-2012 ¹ | 20-10-2005 07-05-2012 |
| 5. | PIX | REFTEK 130-1 | B07A | 100 | GURALP 3ESPC | T36757 | FBA ES-T | 4508 | 31.5629 | -113.4599 | 77 | Internet Satelital | PIX ⇨ C4 ⇨ CICESE | Pinacate | Localidad del Pinacate – Sonora | 15-07-2011 | |
| 6. | RHX | REFTEK 130-1 | B081 | 100 | GURALP 3ESPC | T36752 | FBA ES-T | 4504 | 32.1350 | -115.2843 | 16 | Internet Satelital | RHX ⇨ CICESE | Río Hardy | | 15-07-2013 | |
| 7. | RMX | REFTEK 130-1 | B089 | 100 | GURALP 3ESPC | T36756 | FBA ES-T | 4507 | 32.5535 | -116.0288 | 1278 | Internet | RMX ⇨ CICESE | Rumorosa | La Rumorosa – BC | 11-11-2012 | |
| 8. | SFX | REFTEK 130-1 | B089 | 100 | GURALP 3ESPC | T36756 | FBA ES-T | 4507 | 31.0376 | -114.8510 | 39 | Internet | SFX ⇨ CICESE | San Felipe | San Felipe – BC | 07-06-2012 | |
| 9. | SJX | REFTEK 130-1 | B085 | 100 | GURALP 3ESPC | T36755 | FBA ES-T | 4498 | 32.0048 | -115.9480 | 1616 | Internet Satelital | SJX ⇨ CICESE | Sierra Juárez | Sierra Juárez – BC | 22-03-2012 | |
| 10. | SPX | REFTEK 72 A REFTEK 130-1 | -- B083 | 100 100 | GEOTECH KS-2000 GURALP 3ESPC | -- T36759 | -- FBA ES-T | -- 4499 | 31.0451 | -115.4660 | 2835 | Internet | SFX ⇨ CICESE | San Pedro Mártir | Observatorio de San Pedro Mártir – BC (170 km al sureste de la ciudad de Ensenada – BC) | 29-05-2001 26-06-2011 | 25-05-2011 |
| 11. | SQX | REFTEK 130-1 | B08C | 100 | GURALP 3ESPC | T36758 | FBA ES-T | 4506 | 30.5761 | -115.875 | 101 | Internet Satelital | SQX ⇨ CICESE | San Quintín | San Quintín - BC | 08-12-2011 | |

¹ Cambian los instrumentos de Banda Ancha

| | ID | DAS | N/S | m/s | Velocidad | S/N | Aceleración | S/N | Latitud | Longitud | Elev m | TIPO ENLACE | Comunicación | Identificación | Localización | Fecha Instalación | Fecha Retiro |
|-----|------|--------------|------|-----|----------------|--------|-------------|------|---------|-----------|--------|--------------------|---------------|----------------------|--|-------------------|--------------|
| 12. | TJX | REFTEK 130-1 | B077 | 100 | GURALP 3ESPC | T36750 | FBA ES-T | 4511 | 32.5102 | -117.0543 | 210 | Internet | TJX↔CICESE | Tijuana | Protección Civil en la cd. De Tijuana – BC | 17-11-2011 | |
| 13. | TKX | REFTEK 130-1 | B08B | 100 | GURALP 3ESPC | T36749 | FBA ES-T | 4505 | 32.5687 | -116.6075 | 541 | Internet | TKX↔C4↔CICESE | Tecate | Edificio C4 de la ciudad de Tecate | 30-11-2011 | |
| 14. | TLX | REFTEK 130S | B912 | | GURALP CMG-40T | T4W97 | -- | -- | 32.4480 | -115.0587 | | Internet | TLX↔CICESE | Tlaxcala | Ejido Tlaxcala – Mexicali, BC | 03-05-2013 | |
| 15. | UABX | REFTEK 130-1 | B082 | 100 | GURALP 3ESPC | T36753 | FBA ES-T | 4510 | 32.6316 | -115.4447 | 44 | Internet | UABX↔CICESE | UABC Mexicali | Edificio de Ingeniería – Mexicali de la UABC | 06-07-2011 | |
| 16. | VTX | REFTEK 130-1 | B08A | 100 | GURALP 3ESPC | T36705 | FBA ES-T | 4512 | 31.3914 | -115.7840 | 746 | Internet Satelital | VTX↔CICESE | Valle de la Trinidad | Valle de la Trinidad – BC | 11-11-2011 | |

Tabla 1 – Información de las estaciones de RESNOM septiembre 2013.

1.3 ADQUISICIÓN DE DATOS

Las señales digitalizadas se transmiten de forma continua en tiempo real al CICESE utilizando Internet convencional e Internet satelital. En el centro de datos de RESNOM se reciben las señales y se procesan automáticamente en formato digital para realizar las detecciones de los eventos sísmicos, el cálculo de las localizaciones hipocentrales y las magnitudes. Ya procesadas las señales se incorporan en una base de datos de eventos y el continuo de la señal registrada.

1.4 PROCESAMIENTO DE LA INFORMACIÓN

Tras el arribo de las señales sísmicas al centro de datos de RESNOM, se analizan y procesan a través del sistema Earthworm: la detección automática de sismos, el cálculo de tiempos de arribo, la localización de epicentros y el cálculo de las magnitudes. Además, se utilizan los registros para calcular mecanismos focales, así como el cálculo de las aceleraciones máximas para generar los mapas de intensidades. Este proceso se realiza de manera automática, sin la intervención de un técnico analista de datos. Posteriormente, esta información, en la etapa de postproceso es revisada por un analista y en caso de ser necesario, se vuelven a procesar los registros del sismo.

1.5 CÁLCULO HIPOCENTRAL AUTOMATIZADO

Estos se realizan a través de un sistema de código abierto conocido como Earthworm (EW), el que fue desarrollado por el USGS (*United States Geological Survey*) y actualmente es soportado por ISTI (*Instrumental Software Technologies, Inc.*) a través del Sistema AQM (ANSS Quake Monitoring System).

La precisión de los resultados hipocentrales depende del número de estaciones sismológicas empleadas en el análisis (mínimo 4), la disponibilidad y calidad de las señales que se registraron.

1.6 CÁLCULO DE MAGNITUD AUTOMATIZADO

El cálculo se encuentra basado en dos programas: Hypoinverse y Binder; siendo el primero el encargado además de estimar la magnitud de duración (Md) empleando el promedio de las CODAS (duración) con la ecuación de Eaton (1992).

Tras unos minutos de haber ocurrido el sismo, se cuenta con un mayor número de datos sísmicos. Un analista experimentado analiza la información recibida, para con ella obtener una nueva estimación de magnitud.

Al ya contar con la mayoría de los datos y más tiempo de procesamiento, se realiza una nueva estimación de la magnitud, y se reporta la magnitud final del evento.

1.7 CÁLCULO DE MAGNITUD MANUAL

Los cálculos manuales de los eventos sísmicos son realizados empleando el programa SEISAN paquete sismológico de código abierto escrito y desarrollado por Jens Havskov, Lars Ottemöller y Peter Voss. Debido a que el procesamiento manual (identificación de fases P y S; cálculo hipocentral y estimación de magnitud) de la señal sismológica es realizada con la mayor cantidad de estaciones disponibles, evaluando su calidad y la mejor cobertura azimutal alrededor de la fuente sísmica.

En el caso de eventos fuertes, las lecturas de tiempos de arribo de otras redes o fuentes de información, locales y regionales, se usan en conjunto con los datos de RESNOM para determinar los parámetros hipocentrales. Es común la integración de datos de estaciones de la Red de acelerógrafos del Noroeste de México (RANM), una red de movimientos fuertes que opera el Departamento de Sismología de CICESE en la región norte de Baja California, o lecturas de tiempos de la Red del Sur de California (SCSN), operada conjuntamente entre el Instituto Tecnológico de California (CALTECH) y el Servicio Geológico

| No | ID | Nombre Estación | Latitud | Longitud | Elevación m | Corrección de Magnitud | Asentamiento |
|----|----|-----------------|---------|----------|----------------|---------------------------|--------------|
|----|----|-----------------|---------|----------|----------------|---------------------------|--------------|

| Estaciones de Banda Ancha | | | | | | | |
|---------------------------|------|----------------------|---------|-----------|------|-------|---|
| 1. | CBX | Cerro Bola | 32.3131 | -116.6636 | 1250 | -0.17 | Rocas volcánicas no diferenciadas |
| 2. | CCX | CICESE | 31.8679 | -116.6645 | 36 | | Rocas volcánicas no diferenciadas Sobre base de concreto |
| 3. | CHX | El Chinero, BC. | 31.4721 | 115.0521 | 40 | | Rocas volcánicas (Andesita) |
| 4. | CPX | Cerro Prieto | 32.4195 | -115.3050 | 194 | -0.42 | Sedimentarias Continentales (Roca Magmática) |
| 5. | PIX | Pinacate | 31.5629 | 113.4599 | 77 | | Sedimentarias Marinas |
| 6. | RHX | Río Hardy | 32.1350 | 115.2843 | 16 | | Rocas Sedimentarias (Aluvión) |
| 7. | RMX | Rumorosa, BC | 32.5535 | 116.0288 | 1278 | | (Graníticas y Gabroides) (Tonalita) |
| 8. | SFX | San Felipe | 31.0376 | -114.8510 | 39 | | Rocas Sedimentarias Continentales |
| 9. | SJX | Sierra de Juárez | 32.0048 | -115.9480 | 1616 | | (Granodiorita) |
| 10. | SPX | San Pedro Mártir | 31.0451 | -115.4660 | 2835 | +0.22 | Batolíticas Roca Sedimentaria Tonalita |
| 11. | SQX | San Quintín | 30.5761 | -115.875 | 101 | | Formación Alisitos Sedimentarias - volcánicas |
| 12. | TJX | Tijuana | 32.5102 | -117.0543 | 210 | | Roca Sedimentaria Marina |
| 13. | TKX | Tecate | 32.5687 | -116.6075 | 541 | | Roca Sedimentaria (Gabro) |
| 14. | TLX | Tlaxcala | 32.4480 | -115.0587 | | | Rocas Sedimentarias (Aluvión) |
| 15. | UABX | UABC Mexicali | 32.6316 | -115.4447 | 44 | | Rocas Sedimentarias (Aluvión) |
| 16. | VTX | Valle de la Trinidad | 31.3914 | -115.7840 | 746 | | Roca Sedimentaria (Tonalita) |

Tabla 2 – Tipo de asentamiento de las estaciones de RESNOM.

| Modelo de Velocidades Sísmicas | | | | | | | | | |
|---|-----------------------|---|-------------------|-----------------------|-----------------------|--|-----------------------|---|-----------------------|
| <u>Macizo Rocoso</u> ^(²) | | <u>Valle de Mexicali</u> ^(¹) | | <u>Bahía</u> | | <u>Golfo Centro</u> ^(³) | | <u>Golfo Sur</u> ^(²) | |
| Profundi dad km | Velocida d km/s | Profundi dad km | Velocidad km/s | Profundi dad km | Velocida d km/s | Profundi dad km | Velocida d km/s | Profundi dad km | Velocida d km/s |
| 0.0 | 5.6 | 0.0 | 1.7 | 0.0 | 1.96 | 0.0 | 5.0 | 0.0 | 4.0 |
| 5.0 | 6.6 | 0.10 | 2.0 | 2.0 | 4.60 | 4.0 | 6.0 | 2.0 | 6.0 |
| 20.0 | 7.0 | 0.73 | 2.3 | 8.0 | 5.52 | 12.0 | 6.4 | 7.0 | 6.40 |
| 42.0 | 8.0 | 1.75 | 2.6 | 19.0 | 6.66 | 19.0 | 6.6 | 14.0 | 6.90 |
| | | 2.94 | 3.0 | 24.0 | 7.90 | 26.0 | 6.8 | 24.0 | 7.60 |
| | | 5.62 | 5.0 | 55.0 | 8.30 | | | 80.0 | 8.0 |
| | | 10.0 | 6.1 | | | | | | |
| | | 20.0 | 7.8 | | | | | | |
| | | 30.0 | 8.0 | | | | | | |

Tabla 3 - Modelo de Velocidades Sísmicas

² Nava, F. A. y J. N. Brune (1982). An Earthquake-Explosion reversed refraction line in the Peninsular Ranges of southern California and Baja California Norte. Bull. Seism. Soc. Am., 72, 1195-1206. (Macizo Rocoso – Valle de Mexicali -)

³ Rebecca J. Dorsey (U. Oregon), Paul J. Umhoefer (N. Arizona State U.), Michael E. Oskin (U. California, Davis) and Ramon Arrowsmith (Arizona State Univ.). Rupturing Continental Lithosphere in the Gulf of California & Salton Trough. GeoPRIMS Newsletter, Issue No. 30, Spring 2013. (Golfo Centro)

Referencias

- [1] J. J., González and A. R. García. *Escala de magnitud-coda para estaciones sísmicas en el Norte de Baja California*, Resumen extenso en Memorias de la Reunión 1986 de la Unión Geofísica Mexicana, pp 399-406. 1986.
- [2] J., Havskov and L. Ottemöller. *SisAn: The earthquake Analysis Software*, Versión 7.0, Institute of Solid Earth Physics, University of Bergen, Norway, pp. 226. 1999.
- [3] B.R.E., Lienert and J. Havskov. A computer program for locating earthquakes both locally and globally, *Seism. Res. Lett.*, 66, 19, 26-36. 1995.
- [4] G.A., McMechan and W. D. Mooney. Asymptotic ray theory and synthetic seismograms for laterally varying structures: theory and application to the Imperial Valley, California, *Bull. Seism. Soc. Am.*, 70, 2021-2035, 1980.
- [5] F.A., Nava and J. Brune. An Earthquake-Explosion reversed refraction line in the Peninsular Ranges of southern California an Baja California Norte, *Bull. Seism. Soc. Am.*, 72, 1195-1206. 1982.
- [6] A., Vidal and L. Munguía. *The ML scale in northern Baja California, México*, *Bull. Seism. Soc. Am.*, 89, 3, 750-763. 1999.
- [7] A., Vidal and L. Orozco and S. Arregui and J. Sánchez and O. Gálvez and I. Méndez and L.Insunza. *A note on upgrading long period seismographs*, *Geofísica International*, 42, 1, 53-59, 2003.

DESCRIPCIÓN DE LOS PARÁMETROS SISMOLÓGICOS

| Parámetros | Descripción |
|-------------------------------|--|
| Fecha / Hora | Fecha, Hora en UTC (Tiempo Universal Coordinado) |
| Latitud | Latitud del epicentro |
| Longitud | Longitud del epicentro |
| P | Profundidad focal en kilómetros |
| No. | Número de estaciones |
| RMS (Root-Mean-Square) | Medida de ajuste de los tiempos de llegada observados a los tiempos de llegada predichos en dicha localización |
| GAP | Perdida de información en segmento de datos |
| Mag | Magnitud |
| Ubicado | Distancia del poblado más cercano |

Tabla 4 – Nomenclatura empleada en el resumen de los eventos localizados.

Eventos septiembre 2013

| Fecha/Hora | | Latitud | Longitud | P km | No. | RMS | GAP | Mag | | Ubicado |
|-------------------|-----------------|----------------|-----------------|---------|-----|-----|-----|------------|--|---|
| | | | | | | | | L | | |
| 09/01/2013 | 21:45:47 | 31.781 | -114.996 | 12 | 11 | 0.3 | 121 | 2.7 | | <i>a 45.91 km al sur del poblado de Estación Coahuila</i> |
| 09/02/2013 | 02:32:29 | 32.474 | -115.648 | 4 | 15 | 0.3 | 71 | 2.3 | | <i>a 13.23 km al suroeste del poblado de Progreso</i> |
| 09/02/2013 | 20:30:02 | 31.975 | -117.139 | 8 | 9 | 0.1 | 314 | 2 | | <i>a 34.34 km al suroeste del poblado de Primo Tapia</i> |
| 09/03/2013 | 13:34:40 | 31.625 | -115.961 | 6 | 11 | 0.3 | 143 | 2.1 | | <i>a 35.95 km al noroeste del poblado de Valle de la Trinidad</i> |
| 09/03/2013 | 21:26:29 | 31.762 | -115.051 | 12 | 11 | 0.3 | 185 | 3.2 | | <i>a 48.24 km al sur del poblado de Estación Coahuila</i> |
| 09/04/2013 | 01:01:54 | 32.565 | -115.698 | 4 | 20 | 0.2 | 60 | 2.3 | | <i>a 10.81 km al oeste del poblado de Progreso</i> |
| 09/04/2013 | 17:59:53 | 31.757 | -115.079 | 10 | 11 | 0.1 | 221 | 2.6 | | <i>a 49.12 km al sur del poblado de Estación Coahuila</i> |
| 09/04/2013 | 18:29:00 | 31.737 | -115.051 | 10 | 9 | 0.3 | 184 | 2.6 | | <i>a 51.01 km al sur del poblado de Estación Coahuila</i> |
| 09/05/2013 | 07:40:04 | 30.87 | -115.41 | 5 | 7 | 0.4 | 163 | 2.1 | | <i>a 53.77 km al oeste del poblado de San Felipe</i> |
| 09/05/2013 | 21:06:06 | 31.758 | -115.054 | 8 | 20 | 0.3 | 169 | 3.3 | | <i>a 48.72 km al sur del poblado de Estación Coahuila</i> |
| 09/06/2013 | 08:30:02 | 32.303 | -115.362 | 5 | 12 | 0.2 | 102 | 2 | | <i>a 16.9 km al oeste del poblado de Delta</i> |
| 09/06/2013 | 17:21:50 | 31.791 | -115.015 | 6 | 9 | 0.2 | 191 | 2.1 | | <i>a 44.82 km al sur del poblado de Estación Coahuila</i> |
| 09/08/2013 | 08:34:46 | 32.197 | -115.312 | 6 | 13 | 0.2 | 158 | 2.4 | | <i>a 13.78 km al oeste del poblado de Alberto Oviedo Mota</i> |
| 09/08/2013 | 16:22:22 | 32.654 | -115.938 | 4 | 18 | 0.2 | 66 | 2.1 | | <i>a 34.16 km al oeste del poblado de Progreso</i> |
| 09/09/2013 | 15:19:24 | 32.578 | -115.7 | 4 | 21 | 0.2 | 56 | 2 | | <i>a 10.87 km al oeste del poblado de Progreso</i> |
| 09/11/2013 | 07:32:03 | 31.526 | -115.532 | 6 | 10 | 0.3 | 78 | 2 | | <i>a 26.03 km al noreste del poblado de Valle de la Trinidad</i> |
| 09/12/2013 | 10:32:40 | 31.772 | -115.057 | 10 | 9 | 0.3 | 184 | 2 | | <i>a 47.2 km al sur del poblado de Estación Coahuila</i> |
| 09/12/2013 | 21:12:16 | 31.562 | -115.605 | 6 | 16 | 0.3 | 89 | 2.9 | | <i>a 24.89 km al noreste del poblado de Valle de la Trinidad</i> |
| 09/12/2013 | 22:37:07 | 31.589 | -115.595 | 6 | 14 | 0.2 | 78 | 2.7 | | <i>a 27.98 km al noreste del poblado de Valle de la Trinidad</i> |
| 09/13/2013 | 10:26:29 | 30.571 | -115.781 | 6 | 9 | 0.2 | 214 | 2.6 | | <i>a 18.9 km al noreste del poblado de San Quintín</i> |
| 09/16/2013 | 02:58:39 | 32.375 | -115.259 | 6 | 9 | 0.2 | 125 | 2.3 | | <i>a 6.59 km al oeste del poblado de Delta</i> |
| 09/16/2013 | 07:57:35 | 31.763 | -115.06 | 10 | 12 | 0.3 | 184 | 2.4 | | <i>a 48.22 km al sur del poblado de Estación Coahuila</i> |

Eventos septiembre 2013

| Fecha/Hora | Latitud | Longitud | P km | No. | RMS | GAP | Mag | Ubicado |
|----------------------------|----------------|-----------------|---------|-----|-----|-----|------------|---|
| | | | | | | | L | |
| 09/16/2013 15:32:00 | 32.593 | -115.735 | 4 | 18 | 0.3 | 94 | 2.2 | a 14.22 km al oeste del poblado de Progreso |
| 09/16/2013 21:36:31 | 31.781 | -115.027 | 10 | 12 | 0.2 | 189 | 2.8 | a 45.97 km al sur del poblado de Estación Coahuila |
| 09/17/2013 03:25:33 | 31.809 | -114.987 | 10 | 10 | 0.3 | 209 | 2.2 | a 42.82 km al sur del poblado de Estación Coahuila |
| 09/17/2013 06:29:01 | 31.774 | -115.029 | 10 | 13 | 0.3 | 118 | 2.4 | a 46.76 km al sur del poblado de Estación Coahuila |
| 09/17/2013 14:51:50 | 31.135 | -115.478 | 5 | 5 | 0.2 | 126 | 2 | a 35.37 km al sureste del poblado de Valle de la Trinidad |
| 09/18/2013 05:20:13 | 31.214 | -115.618 | 5 | 7 | 0.4 | 122 | 2 | a 20.18 km al sureste del poblado de Valle de la Trinidad |
| 09/18/2013 09:53:55 | 31.821 | -115.065 | 8 | 9 | 0.2 | 186 | 2.1 | a 41.89 km al sur del poblado de Estación Coahuila |
| 09/18/2013 10:01:27 | 32.187 | -115.29 | 3 | 13 | 0.2 | 134 | 2.5 | a 12.15 km al oeste del poblado de Alberto Oviedo Mota |
| 09/18/2013 12:13:25 | 31.761 | -115.08 | 8 | 10 | 0.2 | 181 | 2.4 | a 48.69 km al sur del poblado de Estación Coahuila |
| 09/18/2013 19:54:40 | 32.16 | -115.282 | 6 | 7 | 0.3 | 168 | 2.2 | a 12.94 km al suroeste del poblado de Alberto Oviedo Mota |
| 09/18/2013 21:44:29 | 31.605 | -115.108 | 4 | 8 | 0.2 | 174 | 2.1 | a 64.92 km al noreste del poblado de Valle de la Trinidad |
| 09/18/2013 23:31:53 | 32.137 | -115.274 | 6 | 9 | 0.3 | 169 | 2 | a 14.04 km al suroeste del poblado de Alberto Oviedo Mota |
| 09/19/2013 07:03:13 | 32.102 | -115.216 | 10 | 16 | 0.3 | 149 | 2.8 | a 14.61 km al sur del poblado de Alberto Oviedo Mota |
| 09/19/2013 07:24:58 | 31.77 | -115.059 | 12 | 12 | 0.3 | 184 | 3 | a 47.44 km al sur del poblado de Estación Coahuila |
| 09/19/2013 13:07:47 | 31.785 | -115.068 | 10 | 12 | 0.2 | 183 | 2 | a 45.89 km al sur del poblado de Estación Coahuila |
| 09/19/2013 13:36:39 | 31.773 | -115.094 | 10 | 10 | 0.3 | 180 | 2 | a 47.6 km al sur del poblado de Estación Coahuila |
| 09/19/2013 18:44:03 | 31.582 | -115.63 | 6 | 9 | 0.2 | 113 | 2.1 | a 25.87 km al norte del poblado de Valle de la Trinidad |
| 09/20/2013 18:05:46 | 32.207 | -115.271 | 5 | 23 | 0.3 | 133 | 3.3 | a 9.77 km al oeste del poblado de Alberto Oviedo Mota |
| 09/22/2013 11:31:48 | 31.786 | -115.043 | 8 | 9 | 0.3 | 187 | 2.7 | a 45.52 km al sur del poblado de Estación Coahuila |
| 09/24/2013 03:30:49 | 31.765 | -115.055 | 8 | 10 | 0.2 | 197 | 2 | a 47.95 km al sur del poblado de Estación Coahuila |
| 09/24/2013 05:58:29 | 31.201 | -115.635 | 5 | 7 | 0.2 | 127 | 2.2 | a 20.63 km al sureste del poblado de Valle de la Trinidad |
| 09/24/2013 14:06:12 | 32.248 | -115.343 | 5 | 13 | 0.6 | 112 | 2.4 | a 16.43 km al oeste del poblado de Alberto Oviedo Mota |

Eventos septiembre 2013

| Fecha/Hora | Latitud | Longitud | P km | No. | RMS | GAP | Mag | | Ubicado |
|----------------------------|----------------|-----------------|---------|-----|-----|-----|------------|---|--|
| | | | | | | | L | M | |
| 09/24/2013 18:09:56 | 32.103 | -115.183 | 9 | 9 | 0.3 | 160 | 3.3 | | <i>a 13.9 km al sur del poblado de Alberto Oviedo Mota</i> |
| 09/24/2013 18:22:57 | 32.141 | -115.253 | 4 | 9 | 0.3 | 174 | 2.2 | | <i>a 12.39 km al suroeste del poblado de Alberto Oviedo Mota</i> |
| 09/24/2013 22:15:04 | 31.564 | -115.143 | 8 | 9 | 0.2 | 152 | 2 | | <i>a 60.11 km al este del poblado de Valle de la Trinidad</i> |
| 09/24/2013 22:27:08 | 32.481 | -115.631 | 4 | 17 | 0.3 | 70 | 2.1 | | <i>a 11.86 km al sur del poblado de Progreso</i> |
| 09/26/2013 09:46:33 | 31.783 | -115.074 | 10 | 8 | 0.2 | 183 | 2 | | <i>a 46.19 km al sur del poblado de Estación Coahuila</i> |
| 09/26/2013 10:37:39 | 31.793 | -115.06 | 10 | 7 | 0.2 | 223 | 2.3 | | <i>a 44.91 km al sur del poblado de Estación Coahuila</i> |
| 09/27/2013 10:45:04 | 32.346 | -115.409 | 5 | 16 | 0.3 | 85 | 2.3 | | <i>a 20.31 km al oeste del poblado de Delta</i> |

Mapa eventos septiembre – 2013

